

Chapter 8 矩阵特征对计算

张亚楠*

May 29, 2023

目标

设 $A \in \mathbb{R}^{n \times n}$, 寻求 $\lambda \in \mathbb{C}$ 和非零向量 $x \in \mathbb{R}^n$, 使得: $Ax = \lambda x$.

关于特征值的几个性质

Theorem 1 若 $Ax = \lambda x$ 则:

1. $\forall a \neq 0, a \in \mathbb{R}, ax$ 也是 λ 对应的特征向量
2. $A - \mu I$ 的特征值为 $\lambda - \mu$
3. A^{-1} 的特征值为 $\frac{1}{\lambda}$

定义 1 设 $A = (a_{ij})_{n \times n}$, 令:

- 1) $r_i = \sum_{j=1, j \neq i}^n |a_{ij}|, i = 1, 2, \dots, n$
- 2) 集合 $D_i = \{z \mid |z - a_{ii}| \leq r_i, z \in \mathbb{C}\}$

所有 D_i 称之为 A 的 Gershgorin 圆盘.

Theorem 2 设 $A = (a_{ij}) \in \mathbb{R}^{n \times n}$,

- 1) A 的每个特征值必属于下述某个圆盘之中

$$|\lambda - a_{ii}| \leq r_i = \sum_{j=1, j \neq i}^n |a_{ij}|$$

或者说, A 的特征值都在复平面上 n 个圆盘的并集中.

- 2) 如果 A 有 m 个圆盘组成一个连通的并集 S , 且 S 与余下 $(n-m)$ 个圆盘是分离的, 则 S 包含 A 的 m 的特征值.

* ynzhang@suda.edu.cn 苏州大学数学科学学院

Proof: 设 $Ax = \lambda x$, $x \neq 0$ & $x \in \mathbb{R}^n$

记 $|x_k| = \|x\|_\infty \neq 0$, 考虑 $Ax = \lambda x$ 的第 k 个方程,

$$\sum_{j=1}^n a_{kj} x_j = a_{k1} x_1 + a_{k2} x_2 + \dots + a_{kn} x_n = \lambda x_k$$

上式改写为:

$$(\lambda - a_{kk}) x_k = \sum_{j \neq k} a_{kj} x_j$$

进而

$$|\lambda - a_{kk}| \cdot |x_k| \leq \|x\|_\infty \cdot \sum_{j \neq k} |a_{kj}|$$

即

$$|\lambda - a_{kk}| \leq \sum_{j \neq k} |a_{kj}|$$

例 1 画出矩阵

$$A = \begin{bmatrix} 4 & 1 & 0 \\ 1 & 0 & -1 \\ 1 & 1 & -4 \end{bmatrix}$$

的 Gershgorin 圆盘, 并用 Matlab 函数 `eig` 画出特征值在复平面上的坐标.

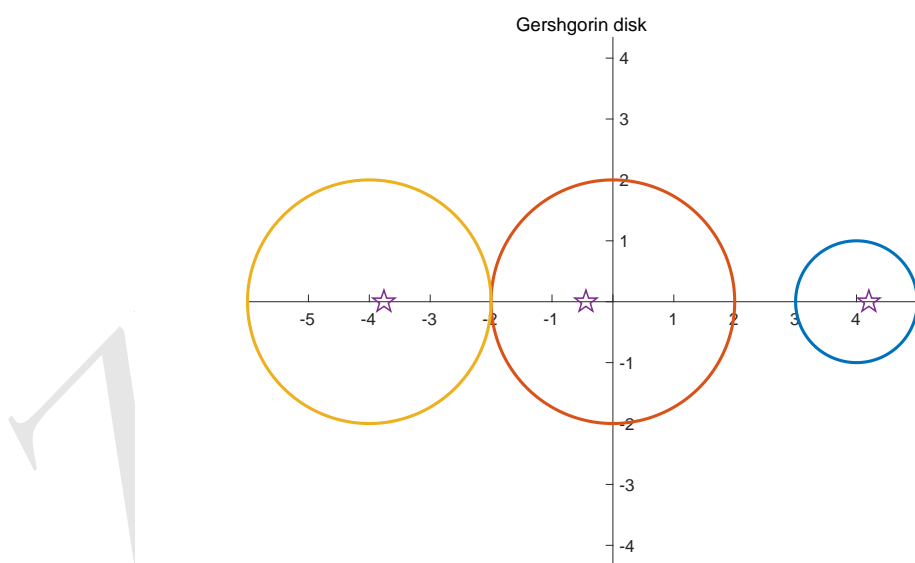


Figure 1: Gershgorin disk and eigenvalue "★" obtained by matlab

标注 1 对于上例可选择对角矩阵 $\text{diag}(1, \sqrt{2}, \sqrt{2})$ 做相似正交变换, 得到新的 矩阵 $D^{-1}AD$ 以及相应的 Gershgorin 圆盘, 每个圆盘都是分离的。注意: 圆盘定理表明每个特征值必然被某个圆盘盖住, 但并非一个盘子盖住一个特征值, 也可能是一个盘子盖住多个特征值, 有的盘子里没有特征值。

定义 2 对 $x \in \mathbb{R}^n, x \neq 0$, 记 $r(x) = \frac{x^T A x}{(x, x)}$ 为瑞利商(Rayleigh Quotient).

瑞利商¹是矩阵特征值计算的一个重要概念, 若 x 是矩阵 A 的特征向量, 则瑞利商即是相应的特征值. 若 $\|x\| = 1, r(x) = x^T A x$.

Theorem 3 设对称矩阵 A 的特征值排列如下 $\lambda_1 > \dots > \lambda_n$, 则

$$\lambda_n \leq r(x) = \frac{x^T A x}{(x, x)} \leq \lambda_1$$

且可以取到向量 x 使得上述不等式等号成立.

对称矩阵不光形式特殊, 在实际问题中也经常出现. 以下两个关于对称矩阵的结论可在 普通线性代数教材上找到.

例 2 对称矩阵的特征值全是实数且特征向量可选择为正交组. 即

$$A = S * \Lambda * S^T, \quad S * S^T = I, \quad \Lambda \text{ 为实对角矩阵}$$

记符号 $\bar{\cdot}$ 表示复数取共轭. 若 λ 为 A 的特征值,

$$A x = \lambda x \Rightarrow A \bar{x} = \bar{\lambda} \bar{x}$$

上述等式左乘以 x^T

$$x^T A \bar{x} = x^T \bar{\lambda} \bar{x} = \bar{\lambda} \|x\|^2$$

上式再取一次共轭 (注意 A 是实、对称) 并转置, 得到

$$\bar{\lambda} \|x\|^2 = \lambda \|x\|^2 \quad \|x\| > 0, \quad \rightarrow \quad \lambda \in \mathbb{R}$$

即 λ 是实数.

例 3 若对称矩阵 A 满足

$$A x = \lambda_1 x, \quad A y = \lambda_2 y, \quad \lambda_1 \neq \lambda_2$$

证明:

$$(x, y) = x^T y = 0$$

该例子说明不同特征值的特征向量是正交的.

$$\lambda_1 (x, y) = (\lambda_1 x, y) = (A x, y) = (x, A y) = (x, \lambda_2 y) = \lambda_2 (x, y) \rightarrow (x, y) = 0$$

1 幂法

本节介绍幂法(乘幂方法). 并假定 A 有完备的特征向量组.

$$A x_j = \lambda_j x_j, \quad 1 \leq j \leq n,$$

¹原始的 Rayleigh quotient 是对称矩阵定义的, 这里没有规定 $A^T = A$, 可以看作是广义的瑞利商.

且

$$|\lambda_1| > |\lambda_2| \geq |\lambda_3| \dots \geq |\lambda_n|$$

该方法也适用于 $\lambda_1 = \lambda_2$, 但是不适用于 $\lambda_1 = -\lambda_2$ 或者 $\lambda_1 = \bar{\lambda}_2$

任给初始非零向量² v_0 ,

$$v_0 = \sum_{j=1}^n \alpha_j x_j, \quad \alpha_1 \neq 0$$

因为 $\alpha_j x_j$ 也是相应 λ_j 的特征向量, 则上式可写为:

$$v_0 = \sum_{j=1}^n y_j = y_1 + y_2 + \dots + y_n$$

则

$$Av_0 = Ay_1 + Ay_2 + \dots + Ay_n = \lambda_1 y_1 + \dots + \lambda_n y_n$$

反复乘幂得到

$$v_k = A^k v_0 = \lambda_1^k y_1 + \dots + \lambda_n^k y_n = \lambda_1^k \left[y_1 + \sum_{j=2}^n \left(\frac{\lambda_j}{\lambda_1} \right)^k y_j \right] \quad (1)$$

或者

$$\frac{v_k}{\lambda_1^k} = y_1 + \sum_{j=2}^n \left(\frac{\lambda_j}{\lambda_1} \right)^k y_j = y_1 + \varepsilon_k$$

以上通过反复乘幂求特征对的方法称之为Power method

注意到一旦得到主特征向量 y_1 或者 v_k , 可按照瑞利商的表达式来计算特征值。我们下面给出幂法计算特征值的收敛阶估计。根据(1), 可得

$$v_{k+1} = \lambda_1^{k+1} \left[y_1 + \sum_{j=2}^n \left(\frac{\lambda_j}{\lambda_1} \right)^{k+1} y_j \right]$$

上式和(1)分别左乘 任意 非零行向量³ u^T 得到:

$$\begin{aligned} \frac{u^T v_{k+1}}{u^T v_k} &= \frac{\lambda_1^{k+1} \left[u^T y_1 + \sum_{j=2}^n \left(\frac{\lambda_j}{\lambda_1} \right)^{k+1} u^T y_j \right]}{\lambda_1^k \left[u^T y_1 + \sum_{j=2}^n \left(\frac{\lambda_j}{\lambda_1} \right)^k u^T y_j \right]} \\ &\approx \lambda_1 \frac{u^T y_1 + \left(\frac{\lambda_2}{\lambda_1} \right)^{k+1} u^T y_2}{u^T y_1 + \left(\frac{\lambda_2}{\lambda_1} \right)^k u^T y_2} = \lambda_1 \frac{1 + \left(\frac{\lambda_2}{\lambda_1} \right)^{k+1} \frac{u^T y_1}{u^T y_2}}{1 + \left(\frac{\lambda_2}{\lambda_1} \right)^k \frac{u^T y_1}{u^T y_2}} = \lambda_1 \frac{1 + \varepsilon * \frac{\lambda_2}{\lambda_1}}{1 + \varepsilon} \\ &\approx \lambda_1 \left(1 + \mathcal{O} \left(\frac{\lambda_2}{\lambda_1} \right)^k \right) \rightarrow \lambda_1 \end{aligned}$$

最后一步用到下式

$$\frac{1}{1-x} = 1 + x + x^2 + x^3 + \dots$$

Theorem 4 幂法关于比值 $\left(\frac{\lambda_2}{\lambda_1} \right)$ 线性收敛; 即第 k 步的迭代误差为 $\frac{u^T v_{k+1}}{u^T v_k} = \mathcal{O} \left(\left(\frac{\lambda_2}{\lambda_1} \right)^k \right)$

²这里需要保证 $\alpha_1 \neq 0$ 使得 v_0 在主特征向量方向的投影非零, 一般取 v_0 为全1向量, 或者随机向量即可。

³还要求 $u^T y_1 \neq 0$, 取 $u = v_k$ 即可满足。

若A为对称矩阵，可取 $u = v_k = A^k v_0$ ，则

$$u^T v_{k+1} = v_0^T * A^k * A^{k+1} v_0 = v_0^T A^{2k+1} v_0, \quad u^T v_k = v_0^T A^{2k} v_0$$

进而

$$\begin{aligned} \frac{u^T v_{k+1}}{u^T v_k} &= \frac{v_0^T A^{2k+1} v_0}{v_0^T A^{2k} v_0} = \frac{v_0^T \cdot \left(\sum_{j=1}^n \lambda_j^{2k+1} y_j \right)}{v_0^T \cdot \left(\sum_{j=1}^n \lambda_j^{2k} y_j \right)} \\ &= \frac{\lambda_1^{2k+1} \left(v_0^T \cdot y_1 + \sum_{j=2}^n (\lambda_j / \lambda_1)^{2k+1} v_0^T \cdot y_j \right)}{\lambda_1^{2k+1} \left(v_0^T \cdot y_1 + \sum_{j=2}^n (\lambda_j / \lambda_1)^{2k} v_0^T \cdot y_j \right)} \\ &\approx \lambda_1 \cdot \frac{1 + (\lambda_2 / \lambda_1)^{2k+1} (v_0^T \cdot y_2 / v_0^T \cdot y_1)}{1 + (\lambda_2 / \lambda_1)^{2k} (v_0^T \cdot y_2 / v_0^T \cdot y_1)} \\ &= \lambda_1 \left[1 + \mathcal{O} \left(\left(\frac{\lambda_2}{\lambda_1} \right)^{2k} \right) \right] \end{aligned}$$

Theorem 5 幂法计算对称矩阵的主特征值关于 $(\frac{\lambda_2}{\lambda_1})$ 可达到平方收敛

幂法的算法实现:

若直接使用幂法计算主特征值而不加修正，则幂法可能不收敛

(1) 若 $\rho(A) > 1$ ，则 $A^k \cdot \begin{bmatrix} 1 \\ 1 \end{bmatrix} \rightarrow \infty$

(2) 若 $\rho(A) < 1$ ，则 $A^k \cdot \begin{bmatrix} 1 \\ 1 \end{bmatrix} \rightarrow 0$

为了避免出现数值上的溢出现象⁴，我们对幂法的算法实现过程中加以规范化，保证特征向量不会趋于零或无穷大。例如每次乘幂之后将向量 v 除以其最大分量，既能保证特征向量在无穷范数意义下是单位向量⁵。

$$\begin{cases} v_1 = Av_0, & u_1 = \frac{v_1}{\max\{v_1\}} = \frac{Av_0}{\max\{Av_0\}} \\ v_2 = Au_1 = \frac{A^2 v_0}{\max\{Av_0\}}, & u_2 = \frac{v_2}{\max\{v_2\}} = \frac{A^2 v_0 / \max\{Av_0\}}{\max\{A^2 v_0 / \max\{Av_0\}\}} = \frac{A^2 v_0}{\max\{A^2 v_0\}} \\ \vdots & \vdots \\ v_k = Au_{k-1} = \frac{A^k v_0}{\max\{A^{k-1} v_0\}}, & u_k = \frac{A^k v_0}{\max\{A^k v_0\}} \end{cases}$$

其中 $\max\{v_k\}$ 指绝对值最大的那个分量。

分析可知：

$$v_0 = \sum_{j=1}^n \alpha_j x_j, \quad \alpha_1 \neq 0$$

则：

$$v_k = A^k v_0 = \lambda_1^k \left[\alpha_1 x_1 + \sum_{j=2}^n \alpha_j \left(\frac{\lambda_j}{\lambda_1} \right)^k x_j \right] = \lambda_1^k (\alpha_1 x_1 + \varepsilon_k)$$

⁴数值过大或者过小超出了浮点数表示的范围

⁵教材上给出的这一方法编程是相对麻烦的。实际使用幂法迭代时 每次将迭代向量单位化即可。

$$u_k = \frac{A^k v_0}{\max\{A^k v_0\}} = \frac{\lambda_1^k [\alpha_1 x_1 + \varepsilon_k]}{\max\{\lambda_1^k [\alpha_1 x_1 + \varepsilon_k]\}} = \frac{x_1}{\max\{x_1\}} \rightarrow \text{eigen vector}$$

$$\max\{v_k\} = \max\left\{\frac{A^k v_0}{\max\{A^{k-1} v_0\}}\right\} = \frac{\max\{A^k v_0\}}{\max\{A^{k-1} v_0\}}$$

$$= \frac{\max\{\lambda_1^k [\alpha_1 x_1 + \varepsilon_k]\}}{\max\{\lambda_1^{k-1} [\alpha_1 x_1 + \varepsilon_{k-1}]\}} = \lambda_1 \cdot \frac{\max\{\lambda_1^{k-1} [\alpha_1 x_1 + \varepsilon_k]\}}{\max\{\lambda_1^{k-1} [\alpha_1 x_1 + \varepsilon_{k-1}]\}} \rightarrow \text{eig value } \lambda_1$$

上述幂法的算法是比较繁琐的，实际上可按照如下方式以及更为简单的下列示例代码的方式进行幂法迭代。

Algorithm:

$$\begin{cases} v_0 = u_0, \\ v_{k+1} = A u_k, \\ \lambda = \frac{v_{k+1}^T \cdot u_k}{u_k^T \cdot u_k} \quad \text{Rayleigh Quotient: approximation eigenvalue of A} \\ u_{k+1} = \frac{v_{k+1}}{\lambda}, \quad \text{OR} \quad u_{k+1} = \frac{v_{k+1}}{\|v_{k+1}\|} \quad k = 0, 1, 2, \dots \end{cases}$$

Output:

$$\lambda \rightarrow \lambda_1; u_k \rightarrow x_1$$

我们给出幂法迭代的代码。测试矩阵为二阶差分矩阵，其主特征值见代码第2行。读者测试下述代码可发现：代码有效但收敛较慢。

```

1 N = 8; T = toeplitz([-2,1,zeros(1,N-2)]), % 2nd finite diff matrix
2 sig = -2 + 2*cos(pi*N/(N+1)), % largest eigenvalue lam_0
3 v0 = [1;zeros(N-1,1)]; maxI = 111; % initial guess E vector v0
4 for j = 1:maxI
5     v1 = T*v0; % power meth / mat*vec
6     v0 = v1./norm(v1); % normalized vec
7 end
8 lam = v0'*T*v0; e1 = abs(lam - sig) % E value & check error

```

标注 2 幂法迭代算法有不同的实现方式，其中上段代码是最为简单的。建议读者将幂法理解为计算“主特征向量”的算法，有了主特征向量再“由瑞利商来计算特征值”。这更有助于理解幂法的各种变形。

例 4 用幂法计算

$$A = \begin{bmatrix} 4 & 1 & 0 \\ 1 & 0 & -1 \\ 1 & 1 & -4 \end{bmatrix}$$

的特征值，初值选全1向量。对比每步迭代的误差并观察收敛速度。

| k | λ_k | Err_k |
|-----|-------------|------------|
| 1 | 2.5517 | 1.6513e+00 |
| 11 | 4.1662 | 3.6802e-02 |
| 21 | 4.2495 | 4.6489e-02 |
| 31 | 4.2244 | 2.1368e-02 |
| 41 | 4.2107 | 7.6612e-03 |
| 51 | 4.2056 | 2.5847e-03 |
| 61 | 4.2039 | 8.5616e-04 |
| 71 | 4.2033 | 2.8194e-04 |
| 81 | 4.2031 | 9.2667e-05 |
| 91 | 4.2031 | 3.0439e-05 |
| 101 | 4.2030 | 9.9963e-06 |
| 111 | 4.2030 | 3.2826e-06 |

2 反幂法及其应用

反幂法

$Ax = \lambda x$, 则 两端同时左乘以 $\frac{1}{\lambda}A^{-1}$ 得到: $A^{-1}x = \frac{1}{\lambda}x$; 说明矩阵 A 与其逆矩阵 A^{-1} 共享特征向量, 且 A^{-1} 的特征值满足:

$$\frac{1}{|\lambda_n|} > \frac{1}{|\lambda_{n-1}|} > \dots > \frac{1}{|\lambda_1|}$$

则幂法可直接应用于求 A^{-1} 的最大特征值, 也即是 A 的最小特征值。

Algorithm 2:

$$\begin{cases} v_0 = u_0, \\ v_{k+1} = A^{-1}u_k, \\ u_{k+1} = \frac{v_{k+1}}{\|v_{k+1}\|} \end{cases} \quad k = 0, 1, 2, \dots$$

Output: $u_k \rightarrow x_n, \quad \lambda_n \approx u_k^T A u_k$

```

1 A = [4,1,0; 1,0,-1; 1,1,-4]; v = ones(size(A,1),1);
2 ee = eig(A); % eigenvalue
3 [~, ii] = sort(abs(ee)); lamN = ee(ii(1)); % smallest eigvalue
4 maxit = 8;
5 for j = 1:maxit
6     u = A\v;
7     v = u/norm(u);
8 end
9 lam = v'*A*v; err = abs(lam - lamN),

```

标注 3 实际算法中不求逆矩阵，而是通过求解线性方程组 $Ax = b$ 实现 $A^{-1} * b$. 对于涉及多次 A^{-1} 乘向量的算法，还应当先进行LU分解 $PA = LU$, 即：

$$\boxed{v_{k+1} = A^{-1}u_k} \Rightarrow \begin{cases} L * y = Pu_k \\ U * v_{k+1} = y \end{cases}$$

读者测试代码可发现，反幂法比幂法收敛更快. 上述代码没有提前对 T 进行三角形分解，计算效率较低. 应当对反幂法作用的矩阵 T 进行分解从而提高求解线性方程组的效率. 读者可尝试修改代码第5行，提高计算效率. 我们用反幂法计算上例 A 的最小特征值，计算结果表明 对所计算的例子，反幂法比幂法的收敛速度更快. 读者可思考原因并进一步思考 反幂法是否一定比幂法 收敛更快？

| k | λ_k | Err_k |
|---|-------------|------------|
| 1 | -0.5283 | 8.5371e-02 |
| 2 | -0.4662 | 2.3263e-02 |
| 3 | -0.4461 | 3.1428e-03 |
| 4 | -0.4433 | 3.4988e-04 |
| 5 | -0.4430 | 4.3564e-05 |
| 6 | -0.4429 | 4.8864e-06 |
| 7 | -0.4429 | 6.0148e-07 |
| 8 | -0.4429 | 6.8127e-08 |

反幂法的应用(平移)

若已知矩阵 A 的某个特征值 λ 的近似值 μ ，且其 n 个特征值分离良好，如何计算 μ 附近的特征值？记 $B = A - \mu \cdot I$ ，则 B 的最小特征值为 $(\lambda_A - \mu)$ ，可用反幂法求解 B 的特征值 λ_B ；进而得到 A 的特征值 $\lambda_B + \mu$. 实际上， A 和 B 共享特征向量，但是对 B 使用反幂法收敛更快. 我们可以通过反幂法求出该特征向量. 例如：通过测试幂法求主特征值的代码可知：幂法迭代100步仍未得到高精度的主特征值，反幂法迭代10余步即得到高精度的特征值.

由幂法的收敛估计式可知误差与 $\frac{\lambda_2}{\lambda_1}$ 正相关,反幂法与 $\frac{\lambda_n}{\lambda_{n-1}}$ 正相关. 例如: 矩阵 A 的特征值分别为1到10共十个自然数, 且事先只知道矩阵 A 的某个特征值约为 $\mu = 9.9$. 则对 $B = A - \mu * I$ 作用反幂法的收敛速度为 $\left| \frac{10-9.9}{9-9.9} \right|^k \approx \frac{1}{10^k}$. 该收敛速度表明每迭代一次即可多一位有效数字. 若特征值的近似值为 $\mu = 9.99$, 则收敛速度可达 $\frac{1}{100^k}$, 只需几步即可达到机器精度.

```

1 clear, close all,
2 N = 8; T = toeplitz([-2,1,zeros(1,N-2)]); % 2nd finite diff matirx
3 sig = -2 + 2*cos((N)*pi/(N+1)), % largest eigenvalue lam_N
4 v0 = [1;zeros(N-1,1)]; maxI = 5; % initial guess E vector v0
5 lam = -3.9;
6 % % % shift inverse power meth
7 B = T - lam*eye(N); dB = decomposition(B); % dB is ldl decomposition of B
8 for j = 1:maxI
9     v1 = dB \ v0; % super fast than B
10    v0 = v1./norm(v1);
11 end
12 lam = v0'*T*v0, e1 = abs(lam - sig)

```

Rayleigh quotient 迭代法 (选讲)

通过测试以上代码同样可以发现, 近似特征值 μ 精度越高, 利用反幂法 计算 $B = A - \mu * I$ 收敛越快. 一个很自然的想法是: 每步迭代计算得到 近似的特征值 μ_{new} 之后, 即得到新矩阵 $B_{new} = A - \mu_{new} * I$. 若对 B_{new} 作用反幂法岂不是收敛更快?

这一方法称为Rayleigh商反幂法(Rayleigh Quotient Iteration). 我们给出测试代码. 提醒读者注意: 这里给出的 幂法代码首要计算目标是特征向量, 有了特征向量再给出相应矩阵的特征值.

```

1 N = 8; T = toeplitz([-2,1,zeros(1,N-2)]); % 2nd finite diff matirx
2 sig = -2 + 2*cos((N)*pi/(N+1)), % largest eigenvalue lam_N
3 v0 = [1;zeros(N-1,1)]; s = -3.9; % initial guess Eigpair v0
4 B = T - s*eye(N);
5 for j = 1:4
6     v1 = (T - s*eye(N)) \ v0; % B_new = B - s*I / shift each step
7     v0 = v1./norm(v1);
8     s = v0'*T*v0; % eigvalue of B
9 end
10 e1 = abs(s - sig) % v0 is vec of T, B & each T + s*I

```

标注 4 带位移的反幂法和瑞利商迭代法对初值的要求较高, 给定某个特征值的 近似值 μ 之后, 算法只会收敛到距离 μ 最近的那个特征值. 如果 μ 的指向不明, 可能收敛的结果并不是预期目标. 另外, 瑞利商反幂法 是否有必要每步都要做位移加速也值得思考.

3 正交迭代和平移(选讲)

幂法和反幂法的优点是算法简单. 缺点是

- 1) 若矩阵 A 存在两个绝对值相等但符号相反的主特征值 $\pm\lambda_1$, 则幂法不收敛;
- 2) 每次只能求出一个特征值

本节分别针对以上两个问题给出改进的算法.

平移算法

若 A 存在两个符号相反的主特征值, 则可通过适当的平移算法使得新的矩阵可以使用幂法迭代. 由定理1, 若矩阵 $Av = \lambda v$, 则对任意实数 μ , $B = A - \mu \cdot I$ 与 A 有相同的特征向量 v , 且 B 的特征值为 $\lambda - \mu$. 通过平移(选择合适的 μ), 可使得 B 只有一个主特征值, 进而对 B 使用幂法求出 λ_B 和相应的特征向量 v . 则 $\lambda_A = \lambda_B + \mu$. 由于 A, B 共享特征向量, 也可通过求瑞利商 $v^T Av$ 即得到 λ_A .

例 5 Legendre 多项式 $P_n(x)$ 的根等价于矩阵

$$A = \begin{bmatrix} 0 & \gamma_1 & & & \\ \gamma_1 & 0 & \gamma_2 & & \\ & \ddots & \ddots & \ddots & \\ & & \gamma_{n-2} & 0 & \gamma_{n-1} \\ & & & \gamma_{n-1} & 0 \end{bmatrix}$$

的特征值, 其中 $\gamma_j = \frac{j}{\sqrt{(2j-1)(2j+1)}} = \sqrt{\frac{1}{4-1/j^2}}$.

由第三章正交多项式的理论可知 $P_n(x)$ 在区间 $(-1, 1)$ 上有 n 个互异实根, 这些根是成对出现的且符号相反. 也即是 A 的两个主特征值是符号相反, 因此幂法不收敛. 若考虑平移后的矩阵 $B = A + I$, 则 B 的特征值在 $(0, 2)$ 内互异. 可用幂法求其主特征向量和主特征值⁶.

```
1 N = 8;      beta = 0.5./sqrt(1-(2*(1:N)).^(-2));
2 A = diag(beta,1) + diag(beta,-1);           % legendre poly roots pts
3 lam = max(eig(A));    v0 = [1;zeros(N,1)];
4 for j = 1 : 66
5     v1 = A*v0;        v0 = v1./norm(v1);
6 end
7 eg = v0'*A*v0;        e1 = lam - eg,         % power meth not work for A
8 %% === power meth for shift A
9 B = A + eye(N+1);     v0 = [1;zeros(N,1)];
10 for j = 1 : 66
11     v1 = B*v0;        v0 = v1./norm(v1);     % power meth for B gives
12 end                                           % the correct eigen vector
13 eg = v0'*A*v0;        e1 = lam - eg,
```

⁶后文介绍的基本QR算法 同样对 A 不收敛, 对 B 收敛

标注 5 适当对矩阵进行平移可以扩大幂法的使用范围，也可加速幂法迭代的收敛性。 μ 的选择需要对矩阵有一定的分析和了解。原则上来说，对矩阵 A 了解的信息越多，可以针对性地设计算法，效果也越好。

Gram-Schmidt正交化

借助于Modified Gram-Schmidt算法⁷，我们可以将一组线性无关的列向量正交化，得到一组标准正交向量组。我们首先给出结论，并通过算法说明Gram-Schmidt的实现过程。

例 6 给定矩阵 $A \in \mathbb{R}^{m \times n}$, $m \geq n$ 且 $\text{rank}(A) = n$ 。记 $\text{span}\{A\}$ 为 A 的列向量张成的空间，也称为列空间(column space)。通过Gram-Schmidt正交化过程可得矩阵 Q ，其中 Q 的各个列向量彼此正交且 $\text{span}\{A\} = \text{span}\{Q\}$

```

1 function [Q,R] = mGSqr(A)
2 %% modified gram schmidt with double orthogonal
3 [m,n] = size(A); Q = A; R = zeros(n,n);
4 if m<n, warning('rows is less than cols'), return, end
5 for j = 1:n
6     v = A(:,j);
7     for k = 1:j-1
8         R(k,j) = Q(:,k)'*v;
9         v = v - Q(:,k)*R(k,j);
10    end
11    %% reOrthogonal if nessesary
12    for k = 1:j-1
13        mu = Q(:,k)'*v;
14        R(k,j) = R(k,j) + mu;
15        v = v - Q(:,k)*mu;
16    end
17    %
18    R(j,j) = norm(v,2);
19    Q(:,j) = v / R(j,j);
20 end

```

标注 6 对 A 的列向量进行正交化的过程也是QR分解过程。对列满秩的矩阵 $A \in \mathbb{R}^{m \times n}$ ，存在正交矩阵 $Q \in \mathbb{R}^{m \times n}$ 及上三角矩阵 R ，满足

$$A = QR, \quad Q^T * Q = I.$$

QR分解是矩阵分解的重要工具，是计算矩阵特征值的QR迭代算法的基础。本小节只给出通过Schmidt正交化计算 Q 的过程。关于QR算法的进一步讨论放在后文。另外，Gram-Schmidt正交化和QR分解对复数矩阵也是适用的。

⁷第五章第六章介绍的QR分解以及二次正交化算法都是基于GS正交化

正交迭代⁸

根据线性代数知识⁹，不同的特征值对应的特征向量是彼此正交的。借助于这一结论，可以对幂法修正使算法同时可以求多个特征值和特征向量。

给定 n 阶方阵 A 且

$$|\lambda_1| > |\lambda_2| > |\lambda_3| \dots > |\lambda_n|.$$

若 $\{u_0, v_0\}$ 为两个彼此正交的向量，对 u_0, v_0 进行幂法迭代得到 $\{u_1, v_1\}$ 并将 $\{u_1, v_1\}$ 进行单位正交化，进行下一步迭代。如此循环迭代得到 u_k, v_k 。根据幂法迭代的收敛性可知 u_k 会收敛到主特征向量。问： v_k 是否收敛？

u_k, v_k 收敛到前两个主特征向量！这一方法称为正交迭代。该方法可用于计算更多甚至全部特征向量。理论分析参考Demmel或者Golub的专著。

对矩阵 $A \in \mathbb{R}^{n \times n}$ ，我们取 $m(\leq n)$ 个 n 维向量做迭代初值，通过幂法结合正交化迭代可得 A 的前 m 个特征对。我们只给出算法过程，理论推导可参考文献¹⁰。这一方法特别适用于大型稀疏矩阵，且计算目标仅为某些特地的几个特征对，例如最大或者最小的几个特征对。

正交迭代

$$\begin{cases} V_{k+1} = A * Q_k \\ \text{span}(Q_{k+1}) = \text{span}(V_{k+1}); \quad // V_{k+1} = QR \end{cases}$$

算法第二步对 V_{k+1} 进行QR分解即可；因为 R_{k+1} 不参与迭代，也可只保留正交向量组 Q_{k+1} 。我们给出的代码没有输出 R_{k+1} 。

```
1 N = 8;      beta = 0.5./sqrt(1-(2*(1:N)).^(-2));
2 A = diag(beta,1) + diag(beta,-1);           % legendre poly roots pts
3 B = A + eye(N+1);                           % remove to [0,2]
4 N = size(A);  v0 = eye(N);  m = 4;  v0 = v0(:,1:m); % initial m vecs
5 for j = 1 : 66
6     v1 = B * v0;                             % find the largest m eigs
7     v0 = mGSqr(v1);                          % orthogonal & normalized
8 end
9 eg = diag(v0'*A*v0),                        % output eig values of A
10 lamA = sort( eig(A), 'descend' );          % exact sol by matlab : eig
11 err1 = norm(eg - lamA(1:m), inf)           % check error
```

⁸本节内容本科生选学，研究生必修

⁹见本章例2

¹⁰Demmel, Applied Numerical Linear Algebra, SIAM; / Golub, Matrix Computations, Johns Hopkins University Press

上述代码计算了例3 的矩阵, 计算结果为矩阵A位于(0,1) 的特征值. 根据对称性, 可得所有 Legendre多项式的根. 读者测试代码可以发现上述基于幂法的正交迭代收敛较慢. 反幂法收敛相对较快, 上述算法可简单修改用于求解矩阵A 的前几个最小特征对.

正交迭代2

$$\begin{cases} V_{k+1} = A^{-1} * Q_k \\ \text{find unitary } Q_{k+1} \quad \text{s.t.} \quad \text{span}\{V_{k+1}\} = \text{span}\{Q_{k+1}\} \end{cases}$$

算法第一步是解线性方程组 $AV_{k+1} = Q_k$. 在进行迭代之前应当对A进行分解(例如LU分解, 对称矩阵可选择LDL分解), 提高计算效率. 第二步同样对 V_{k+1} 进行QR分解.

```
1 N = 8;      beta = 0.5./sqrt(1-(2*(1:N)).^(-2));
2 A = diag(beta,1) + diag(beta,-1);           % legendre poly roots pts
3 B = A + eye(N+1);                           % remove to [0,2]
4 N = size(A);  v0 = eye(N);  m = 4;  v0 = v0(:,1:m); % initial m vecs
5 dB = decomposition(B,'ldl');                 % decomposition of B by ldl
6 for j = 1 : 33
7     v1 = dB \ v0;                           % V1 = inv(B)*V0
8     v0 = mGSqr(v1);                         % orthogonal & normalized
9 end
10 eg = diag(v0'*A*v0),                       % output eig values of A
11 lamA = sort(eig(A), 'ascend');             % exact sol by matlab : eig
12 err1 = norm(eg - lamA(1:m), inf)           % check error
```

正交迭代的应用

幂法或者反幂法结合正交迭代特别适合求解矩阵的特征值分离情况好的矩阵. 对于有些特殊情况, 可以一次求出矩阵的所有特征值.

例 7 Laguerre 多项式满足如下递推式

$$(n+1)L_{n+1}(x) = (2n+1-x)L_n(x) - nL_{n-1}(x), \quad L_{-1} = 0, \quad L_0 = 1$$

改写上式为

$$x \cdot L_n(x) = -(n+1)L_{n+1}(x) + (2n+1)L_n(x) - nL_{n-1}(x), \quad 0 \leq n \leq N-1$$

进而

$$x * \begin{bmatrix} L_0(x) \\ L_1(x) \\ \vdots \\ L_{N-1}(x) \end{bmatrix} = \begin{bmatrix} 1 & -1 & & & \\ -1 & 3 & -2 & & \\ & \ddots & \ddots & \ddots & \\ & & -(N-2) & 2N-3 & -(N-1) \\ & & & -(N-1) & 2N-1 \end{bmatrix} \begin{bmatrix} L_0(x) \\ L_1(x) \\ \vdots \\ L_{N-1}(x) \end{bmatrix} - N * L_N(x) * e_N$$

其中 $e_N = [0, \dots, 0, 1]^T$. 当 $L_N(x^*) = 0$ 时, x^* 是 $L_N(x)$ 的根也是上式中三对角矩阵的特征值. 由于 Laguerre 多项式的根(矩阵特征值)彼此分离, 正交迭代可以一次性全部求出该矩阵的特征值.

```

1 N = 12;      j0 = -(1:N-1)';  j1 = 2*(1:N)'-1;
2 A = diag(j0,-1) + diag(j0,1) + diag(j1);      % eig(A) are roots of Laguerre
3 Q = eye(N);  dA = decomposition(A);      maxI = 211;
4 for k = 1:maxI
5     v = dA \ Q;
6     Q = mGSqr(v);
7 end
8 ee = diag(Q'*A*Q);  err = A*Q - Q*diag(ee);  e1 = norm(err(:), inf)

```

标注 7 上述代码可一次性求出 Laguerre 多项式 $L_N(x)$ 的 N 个根 $\{x_j\}_{j=0}^{N-1}$. 这些根也即是 Gauss-Laguerre 积分公式的求积节点, 即

$$\int_0^{+\infty} e^{-x} f(x) dx = \sum_{j=0}^N \omega_j f(x_j)$$

利用插值性求积公式具有至少 N 次代数精度, 给出关于 ω_j 的线性方程组并计算得到求积系数.
留作研究生编程作业.

4 基本QR算法

幂法和反幂法的优势在于方法简单, 特别适用于大型稀疏矩阵. 但是缺点是每次只能求出一个特征值, 如果利用带位移的反幂法加速还需要特征值的近似值. 正交迭代可一次求出矩阵的几个或者全部特征对, 但收敛速度相对较慢. 本章介绍的QR算法(也称为QR迭代)在大多数情况下优于前两种方法. QR 算法(实用算法为带位移的QR迭代)可以一次求出矩阵的所有特征值, 特别适用于中小规模矩阵. 当然算法的理论和实现过程都更为复杂. 本节的学习以算法为主, 收敛性分析等理论 不做要求.

例 8 任给 $A \in \mathbb{C}^{n \times n}$, $A = SJS^{-1}$ 为其Jordan标准型, 证明 存在上三角矩阵 R 酉矩阵 U , 使得

$$A = URU^H$$

例 9 任给 $A \in \mathbb{R}^{n \times n}$ 且 $A = XDX^{-1}$, 其中 D 为其相似对角化, X 为可逆矩阵, 证明 存在实数上三角矩阵 T 实正交矩阵 Q , 使得

$$A = QTQ^T$$

给定矩阵 A , 按照如下迭代格式

$$\begin{cases} A_k = Q_k \cdot R_k \\ A_{k+1} = R_k \cdot Q_k \end{cases}$$

其中 Q 是正交矩阵, R 是上三角矩阵. 可得到矩阵序列 $A_k (k = 0, 1, 2, \dots)$.

读者可以多次测试以下代码并观察结果¹¹. 通过观察测试代码思考:

- 1) 该算法为何奏效? 也即 A_{k+1} 为何会变成上三角矩阵?
- 2) 每步迭代计算复杂度多大? $\mathcal{O}(n^3)$
- 3) 收敛速度如何? 慢!!

```
1 clear , n1 = 5; A = rand(n1);
2 for kk = 1:20
3     [Q,R] = qr(A);
4     A = R*Q,
5 end
6 A
```

Theorem 6 上述QR迭代产生的矩阵序列 A_k 满足

- 1) $A_{k+1} = Q_k^T \cdot A_k \cdot Q_k$ 且

$$A_{k+1} = Q_k^T \cdots Q_0^T \cdot A_0 \cdot Q_0 \cdots Q_k$$

¹¹此处是调用了Matlab自带的QR函数, 也可用上节函数mGSqr.m

2) 记 $\hat{Q}_k = Q_0 Q_1 \cdots Q_{k-1}$, 则 $A_{k+1} = \hat{Q}_k^T A_0 \hat{Q}_k$, 且

$$A^{k+1} = \hat{Q}_k \hat{R}_k$$

证明: 1) 是显然的递推式。我们证明 2). 记录QR迭代产生的 Q_k 和 R_k

$$A_0 = Q_0 R_0 \quad A_1 = R_0 Q_0$$

$$A_1 = Q_1 R_1 \quad A_2 = R_1 Q_1$$

$$A_2 = Q_2 R_2 \quad A_3 = R_2 Q_2$$

检验:

$$\begin{aligned} (Q_0 Q_1 Q_2) * (R_2 R_1 R_0) &= Q_0 Q_1 A_2 R_1 R_0 \\ &= Q_0 Q_1 R_1 Q_1 R_1 R_0 \\ &= Q_0 R_0 Q_0 R_0 Q_0 R_0 \\ &= A^3 := \hat{Q}_2 \hat{R}_2 \end{aligned}$$

记 $\hat{Q}_k = Q_0 Q_1 \cdots Q_{k-1}$, 则可得¹² $A^{k+1} = \hat{Q}_k \hat{R}_k$ ■

标注 8 SIAM news 报道QR算法是20世纪最重要的Top10算法之一. 关于算法的收敛性证明可参阅 Parlett, 1965 Numer Math, Article: Convergence Of The QR Algorithm. 收敛性不够直观, 较难理解. 我们这里给一个粗略的解释.

假设 A 有完备的特征向量空间, 且特征值彼此分离 $|\lambda_1| > |\lambda_2| > \dots > |\lambda_n| > 0$, 记

$$A = S \Lambda S^{-1}, \quad S = Q_s R_s, \quad S^{-1} = L \cdot U.$$

其中, 分别对 S, S^{-1} 进行QR分解和LU分解. 代入上式可得

$$A^{k+1} = S * \Lambda^{k+1} * S^{-1} = S * \Lambda^{k+1} * L * U = S * \underbrace{\Lambda^{k+1} * L \Lambda^{-(k+1)}}_{\text{上三角}} * \underbrace{\Lambda^{(k+1)} * U}_{\text{上三角}}$$

现在说明三个事实

1. $\underbrace{\Lambda^{k+1} * L \Lambda^{-(k+1)}}_{\text{上三角}} \rightarrow I$, 检验 $\lambda_i^{k+1} * l_{ij} * \lambda_j^{-(k+1)} = l_{ij} * (\lambda_i / \lambda_j)^{k+1} \rightarrow 0, \quad \text{as } i > j$
2. $\underbrace{\Lambda^{k+1} * L \Lambda^{-(k+1)}}_{\text{上三角}} * \underbrace{\Lambda^{(k+1)} * U}_{\text{上三角}} := \text{big} U$ 是上三角
3. 根据QR分解的唯一性(R的对角元符号确定的前提下);

$$A^{k+1} = S * \text{big} U = Q_s * (R_s * \text{big} U) = \hat{Q}_k \hat{R}_k \Rightarrow Q_s = \hat{Q}_k \quad \text{as } k \rightarrow \infty$$

结论:

$$A_{k+1} = \hat{Q}_k^T * A_0 * \hat{Q}_k \approx Q_s^T * (S \Lambda S^{-1}) * Q_s = \underbrace{Q_s^T * (Q_s R_s \Lambda R_s^{-1} Q_s^{-1})}_{\text{上三角}} * Q_s$$

是上三角矩阵.

¹² 正交矩阵的乘积仍是正交矩阵; 上三角矩阵的乘积仍是上三角.

标注 9 提示：此处推导只是为了帮助理解算法过程，不是严格的数学证明。而且推导过程中加了很多条件。有兴趣读者自行查阅文献仔细推导证明过程。

5 Householder变换

QR迭代算法的基础就是矩阵的QR分解，Gram-Schmidt正交化算法(修正的GS以及二次正交化GS)简单有效。本节给出一种正交变换方法——Householder变换，可用于对矩阵进行QR分解且算法是数值稳定的。Householder变换还可对一般矩阵进行正交相似变换约化其为Hessenberg矩阵。

例 10 对任意模长为1的向量 $w \in \mathbb{R}^n$ ，检验反射矩阵 $A = I - 2ww^T$ ，满足

$$A = A^T, \quad A * A = I.$$

即 A 为对称正交矩阵。

记超平面（过原点以 w 为法向）

$$S = \{x \mid w^T x = 0, \quad \forall x \in \mathbb{R}^n\},$$

是 \mathbb{R}^n 子空间，维数为 $(n-1)$ 。任意向量 $z \in \mathbb{R}^n$ 可在 S 和 $\text{span}\{w\}$ 做正交分解

$$z = x + y, \quad x \in S, \quad \& \quad y = \alpha \cdot w, \quad \alpha \in \mathbb{R}$$

进而

$$Az = Ax + Ay = x + (I - 2ww^T)y = x + y - 2ww^T * \alpha w = x - y$$

几何上，上述反射矩阵可以看作是以 S 为镜面的反射，有时也称Householder变换为反射变换。

Theorem 7 给定两个模长相等的向量 $x, y \in \mathbb{R}^n$ ，则存在反射变换 P ，使得 $Px = y$ 。

证明：取 $w = \frac{x-y}{\|x-y\|}$ ，检验 $P = I - 2ww^T$ 满足要求。

$$Px = x - 2 \frac{(x-y) * (x-y)^T}{(x-y, x-y)} x = x - (x-y) \frac{2(x-y)^T x}{(x-y)^T (x-y)} \quad (2)$$

由实内积的对称性可得

$$\frac{2(x-y)^T x}{(x-y)^T (x-y)} = \frac{2(x^T x - y^T x)}{x^T x - x^T y - y^T x - y^T y} = 1.$$

代入上式到(2)即得 $Px = y$. ■

标注 10 定理7的结论是算法的基础。我们可以利用该结论对矩阵进行QR分解，还可以将一般矩阵通过正交相似变换变为特殊的上Hessenberg矩阵。另外，若 $x, y \in \mathbb{C}^n$ ，定理结论成立。但是取 $P = I - 2ww^H$ ， $w = (x-y)/\|x-y\|$ ，不能证明上述结果。需要推广反射变换的定义，例如

$$I - \frac{1}{w^H x} ww^H.$$

关于complex Householder变换的推广可参考¹³

¹³Kuo-Liang Chung and Wen-Ming Yan, The Complex Householder Transform, IEEE TRANSACTIONS ON SIGNAL PROCESSING, VOL. 45, NO. 9, SEPTEMBER 1997

5.1 Householder变换实现QR分解

例 11 $\forall x \in \mathbb{R}^n$, 以及 $\|x\| = \rho$, 存在Householder变换 P 得到

$$Px = [\pm\rho, 0, \dots, 0]^T$$

由例11, 对任意给定方阵, 可通过反射变换实现

$$\begin{bmatrix} \times & \times & \times & \times \\ \times & \times & \times & \times \\ \times & \times & \times & \times \\ \times & \times & \times & \times \end{bmatrix} \xrightarrow{P_1 = I - 2w * w^T} \begin{bmatrix} \times & \times & \times & \times \\ 0 & \times & \times & \times \\ 0 & \times & \times & \times \\ 0 & \times & \times & \times \end{bmatrix}$$

也即是将第一列对角线以下全变为零. 对小一阶规模的矩阵重复上述过程

$$\begin{bmatrix} I & 0 \\ 0 & P_2 \end{bmatrix} \cdot \begin{bmatrix} A_{11} & A_{12} \\ 0 & A_{22} \end{bmatrix} = \begin{bmatrix} A_{11} & A_{12} \\ 0 & P_2 \cdot A_{22} \end{bmatrix} = \begin{bmatrix} \times & \times & \times & \times \\ 0 & \times & \times & \times \\ 0 & 0 & \times & \times \\ 0 & 0 & \times & \times \end{bmatrix}$$

注意到 $P_1, \text{diag}(I, P_2), \dots$ 是对称正交矩阵, 其乘积也是对称正交的. 反复利用反射变换将对角线以下的元素变为零, 最终得到三角形矩阵. 由于反射矩阵的乘积是正交矩阵, 正交矩阵的逆是其转置也是正交矩阵, 因此上述过程也实现了矩阵的QR分解.

$$P_{n-1}P_2P_1 \cdot A = R, \quad PA = R, \quad A = P^T \cdot R = QR$$

```

1  n = 5;
2  % A = hilb(n);
3  % A = rand(n,n) - 1i*rand(n,n);
4  A = rand(n,n);
5  R = A;   Q = eye(n);
6  for k = 1:n
7      if norm(R(k+1:n,k)) > 11*eps
8          j1 = k:n;   x = R(j1,k);   rho = norm(x);
9          if abs(x(1)) > 1e-11
10             sgn = x(1)/abs(x(1));
11         else
12             sgn = 1;
13         end
14         w = x + sgn*[rho; zeros(n-k,1)]; w = w / norm(w);
15         R(j1,:) = R(j1,:) - 2*w*(w'*R(j1,:));
16         Q(:,j1) = Q(:,j1) - 2*(Q(:,j1)*w)*w';
17     end
18 end
19 e1 = norm(Q'*Q - eye(n)), e2 = norm(A - Q*R)

```

测试上述代码可知道, 基于Householder变换的QR分解比基本和修正的Gram-Schmidt算法更加稳定。上述代码对复矩阵可用, 注意: $Px = [\rho; 0, \dots, 0]$ 适用; 一般的 $Px = y$ 不适用, 需要complex householder transform.

5.2 变换一般矩阵为Hessenberg矩阵

Hessenberg矩阵是数值计算中常用的一类特殊矩阵, 在求解线性方程组问题和特征值问题时经常出现. 形式如下¹⁴

$$H = \begin{bmatrix} \times & \times & \times & \times & \times \\ \times & \times & \times & \times & \times \\ 0 & \times & \times & \times & \times \\ 0 & 0 & \times & \times & \times \\ 0 & 0 & 0 & \times & \times \end{bmatrix}$$

Theorem 8 设 $A \in \mathbb{R}^{n \times n}$, 则存在正交矩阵 Q , 上Hessenberg矩阵 H , 满足

$$AQ = QH, \Leftrightarrow A = QHQ^T \Leftrightarrow H = Q^T A Q$$

与Schur分解和QR迭代的收敛性条件不同, 一般的实数矩阵不一定正交相似于上三角矩阵。但是任意实数矩阵必正交相似于上Hessenberg矩阵, 而且有通用的方法来实现这一过程——Hessenberg反射变换. 我们给出算法流程和说明.

$$\begin{bmatrix} \times & \times & \times & \times \\ \times & \times & \times & \times \\ \times & \times & \times & \times \\ \times & \times & \times & \times \end{bmatrix} \xrightarrow[\substack{\text{Householder } P \\ P \cdot A \rightarrow}]{\substack{\text{Householder } P \\ P \cdot A \rightarrow}} \begin{bmatrix} \times & \times & \times & \times \\ \times & \times & \times & \times \\ 0 & \times & \times & \times \\ 0 & \times & \times & \times \end{bmatrix} \xrightarrow{PAP^T} \begin{bmatrix} \times & \times & \times & \times \\ \times & \times & \times & \times \\ 0 & \times & \times & \times \\ 0 & \times & \times & \times \end{bmatrix}$$

上式第一步是将矩阵的第一列的(2: n)行进行反射变换, 对角线第一个元素保持不变。其对应的变换矩阵 $\text{diag}(I_1, P_{n-1})$ 是正交的。检验该变换对第一行不起作用, 进而右乘反射矩阵只左右于(2: n)列, 第一列保持不变。

由于 $P^T = P^{-1}$, 上述过程是相似变换, A 与 PAP^T 具有同样的特征值。对小规模的 $(n-1)$ 阶矩阵重复以上过程可得

$$A \rightarrow P_1 A P_1 \rightarrow P_2 P_1 A P_1 P_2 \rightarrow \dots \rightarrow \text{Hessenberg form}$$

检验整个过程的计算量是 $O(n^3)$. 如果 A 本身是对称矩阵, 则最终得到的Hessenberg矩阵为三对角矩阵. 以下代码是通过Householder变换将 A 变为上Hessenberg矩阵的例子. Matlab函数名为 $[P, H] = \text{hess}(A)$ 输出 $AP = PH$.

```
1 function [P,H] = myHess(A)
2 % compute AP = PH, where P'*P = I; and H is Hessenberg
3 % For example: A = rand(5);
4 % [P1,H1] = myHess(A);    [P, H] = hess(A);
```

¹⁴上Hessenberg矩阵是近似上三角矩阵, 其中下三角部分只有次对角线非零.

```

5 % norm(P-P1), norm(H1-H)
6 n = size(A,1); H = A; P = eye(n);
7 for k = 1:n-2
8     j1 = k + 1 : n; x = H(j1,k);
9     if norm(H(k+2:n,k))>11*eps
10         if abs(x(1))>1e-11
11             cc = -x(1)/abs(x(1));
12         else
13             cc = -1;
14         end
15         y = [cc*norm(x); zeros(n-k-1,1)];
16         [alp,w] = house(x,y);
17 H(j1,:) = H(j1,:) - alp*w*(w'*H(j1,:)); % rows
18 H(:,j1) = H(:,j1) - (H(:,j1)*w)*w'*alp'; % cols
19 P(:,j1) = P(:,j1) - (P(:,j1)*w)*w'*alp'; % householder
20     end
21 end
22 end
23 %
24 function [alp,w] = house(x,y)
25 % Px = y; |x| = |y|; P = I - alp*w*w'; for any complex vectors x,y
26 if (norm(x) - norm(y)) > 11*eps, error('|x| not equals |y|'), end
27 w = x-y; alp = 1/(w'*x);
28 end

```

6 Givens 变换

例 12 证明：矩阵 $G = \begin{bmatrix} \cos\theta & \sin\theta \\ -\sin\theta & \cos\theta \end{bmatrix}$ 是正交矩阵。

例 13 证明： k 阶方阵 $G(k,\theta) = \begin{bmatrix} \cos\theta & & \sin\theta \\ & I_{k-1} & \\ -\sin\theta & & \cos\theta \end{bmatrix}$ 是正交矩阵，其中 I_{k-1} 表示 $(k-1)$ 阶单位矩阵。更进一步有

$$G(i,j,\theta) = \begin{bmatrix} I_{i-1} & & & \\ & \cos\theta & & \sin\theta \\ & & I_{j-i-1} & \\ & -\sin\theta & & \cos\theta \\ & & & & I_{n-j} \end{bmatrix}$$

也是正交矩阵。其中 I_0 为空，此时位置被 $\cos\theta$ 占据。

例 14 给定向量 $x = [a, b]^T$ 且 $ab \neq 0$, 证明: 存在矩阵

$$G = \begin{bmatrix} c & s \\ -s & c \end{bmatrix}, \quad \text{s.t.} \quad Gx = \begin{bmatrix} r \\ 0 \end{bmatrix}, \quad r = \|x\|_2 = \sqrt{|a|^2 + |b|^2}$$

Givens旋转变换的优点在于可以将某个指定位置的元素变为零, 而仅仅需要改变某两行元素, 其它元素保持不变; 读者可测试以下代码发现: (1) 只有 (i, j) 两行发生变化; (2) G 是正交矩阵。另外, 注意若考虑复数运算, 复内积要取共轭; 则此时可取¹⁵ $G = [\bar{c}, \bar{s}; -s, c]$.

```
1 function [R,G] = givens(a,b,i,j,n)
2 % Givens rotation trans x to y = R*x
3 % for given x = [a; b], R*x = [|x|; 0]
4 % % example
5 %     n = 5; A = rand(n,1); i = 1; j = 3;
6 %     a = A(i,1); b = A(j,1);
7 %     [R,G] = givens(a,b,i,j,n);
8 %     norm(G'*G - eye(n)), GA = G*A; A([i,j]), GA([i,j])
9 x = [a; b]; r = norm(x); c = a/r; s = b/r;
10 R = [c',s'; -s,c];
11 if nargin<3
12     G = [];
13 else
14     G = speye(n); G([i,j],[i,j]) = R;
15 end
```

旋转变换也是正交变换, 是数值稳定的; 类似于反射变换, Givens旋转变换可以实现矩阵的QR分解.

```
1 function [Q,R] = myGivensQR(A)
2 % % qr decomp by Givens
3 % % example:
4 %     A = rand(4); [Q,R] = myGivensQR(A);
5 %     Q'*Q - eye(4), A - Q*R, R,
6 [m,n] = size(A);
7 % if m<n, warning('rows is less than cols'), return, end
8 R = A; Q = eye(m);
9 for i = 1:n
10     for j = i+1:m
11         a = R(i,i); b = R(j,i);
12         if abs(b)>11*eps
13             G = givens(a,b);
14             R([i,j],:) = G*R([i,j],:);
15             Q(:,[i,j]) = Q(:,[i,j])*G';
16         end
17     end
18 end
```

¹⁵实际上复数域上的 Givens 变换实现上例有无穷多组取法, 取决于 r 的选择; 例如 $re^{i\theta}$ 均是保长度的.

```

17     end
18 end

```

标注 11 由于Givens变换每约化一个零元素需要处理矩阵的两行，用于矩阵的QR分解时，主元所在的行每次都要参与变换，计算代价是Householder变换的两倍。因此，Givens变换更加适合于零元素较多(稀疏/sparse)的矩阵的QR分解，而稠密矩阵的QR分解最好采用Householder反射变换或者Gram-Schmidt(结合二次投影正交化)。

7 Hessenberg矩阵的QR迭代

由上节知识已知，任意矩阵 $A \in \mathbb{R}^{n \times n}$ ，均正交相似于一个上Hessenberg矩阵 H ，即

$$AQ = QH$$

若已知 $Hx = x\lambda$ ，则

$$AQx = QHx = Qx\lambda$$

即 $y = Qx$ 为 A 的相应于 λ 的特征向量。因此，计算矩阵 A 的特征对就完全转化为计算 H 的特征对。

Hessenberg矩阵的QR分解

Hessenberg矩阵是近似上三角矩阵，其中下三角部分只有次对角线非零。对这样一类特殊形式的矩阵进行QR分解，计算复杂度可降低为 $\mathcal{O}(n^2)$ 。如下所示，反射变换作用第一列时，上段代码中定义的 w 只有两个非零元素。每次反射变换只需要处理矩阵的两行即可。每次乘除法次数为 n ，进行 n 步完成，总的工作量为 $\mathcal{O}(n^2)$ 。

$$\begin{bmatrix} \times & \times & \times & \times \\ \times & \times & \times & \times \\ 0 & \times & \times & \times \\ 0 & 0 & \times & \times \end{bmatrix} \xrightarrow{H = I - 2ww^T} \begin{bmatrix} \times & \times & \times & \times \\ 0 & \times & \times & \times \\ 0 & \times & \times & \times \\ 0 & 0 & \times & \times \end{bmatrix}$$

针对Hessenberg矩阵进行QR分解的代码可简化如下

```

1 clear % House QR decomp for hess mat
2 A = [1 2 3 4; 4 4 4 4; 0 1 -1 1; 0 0 2 3],
3 n = size(A,1); R = A; Q = eye(n);
4 for k = 1:n-1
5     if abs(A(k+1,k))>11*eps
6         x = R(k:k+1,k); rho = norm(x);
7         if abs(x(1))>1e-11, sgn = -x(1)/abs(x(1)); else, sgn = -1; end
8         w = x - [sgn*rho; 0]; w = w/norm(w);
9         R(k:k+1,:) = R(k:k+1,:) - 2*w*(w'*R(k:k+1,:)); % H transf /2 rows
10        Q(:,k:k+1) = Q(:,k:k+1) - (Q(:,k:k+1)*w)*w'*2;
11    end

```

```

12 end
13 norm(Q*R - A), norm(Q'*Q - eye(n)), R
14 %% Givens QR for hess
15 R = A; Q = eye(n);
16 for k = 1:n-1
17     a = R(k,k); b = R(k+1,k);
18     if abs(b)>11*eps
19         G = givens(a,b);
20         R(k:k+1,:) = G*R(k:k+1,:);
21         Q(:,k:k+1) = Q(:,k:k+1)*G';
22     end
23 end
24 norm(Q*R - A), norm(Q'*Q - eye(n)), R

```

可以检验对Hessenberg矩阵进行QR分解，产生的正交矩阵 Q 仍然是Hessenberg矩阵。另外，Givens变换同样可以实现Hessenberg矩阵的QR分解。由于此时对角线下只有一个非零元，Givens变换的计算代价和Householder变换相同。如果是形式更为简单的三对角矩阵，一步QR分解的计算复杂度进一步降低为 $\mathcal{O}(n)$ 。

Hessenberg矩阵的基本QR算法

对于一般形式矩阵，求解其特征值可按照以下两步实现

1. 利用Householder变换化矩阵 A 为与其相似的Hessenberg矩阵 H
2. 对 H 进行QR迭代
 - 1) 对Hessenberg矩阵进行QR分解: $H = QR$
 - 2) 更新 $H_{new} = RQ$ 得到新的Hessenberg矩阵

标注 12 第一步 $H = QR$ 的计算复杂度 $\mathcal{O}(n^2)$ 。第二步注意到 R, Q 分别是上三角和Hessenberg矩阵，则其乘积 H_{new} 仍然是Hessenberg矩阵，也即Hessenberg矩阵的QR算法产生的序列保持形式不变。表面看每次矩阵乘积的计算复杂度¹⁶为 $n^3/6$ 。实际上， RQ 相当于 $Q = (I - 2w * w^T)$ 对 R 做对应列变换，因为 w 只有两个非零元，只要 $\sum_{j=1}^n 2j = n^2$ 次乘法。

```

1 A = [1 2 3 4; 4 4 4 4; 0 1 -1 1; 0 0 2 3],
2 lam = eig(A); Q = eye(size(A)); AO = A;
3 n = size(A,1);
4 for k = 1 : 22
5     [Q,R] = myGivensQR(A);

```

¹⁶按照所得的Hessenberg矩阵逐列计算每列的计算复杂度。

```

6  %      A = R*Q;
7      for j = 1:n-1
8          a = A(j,j); b = A(j+1,j);
9          if abs(b) > 11*eps
10             G = givens(a,b);
11             A([j,j+1],:) = G*A([j,j+1],:);
12             A(:, [j,j+1]) = A(:, [j,j+1])*G';
13             Q(:, [j,j+1]) = Q(:, [j,j+1])*G';
14         end
15     end
16
17 end
18 sort(lam) - sort(diag(A)),
19 norm( Q'*A0*Q - A )

```

对Hessenberg矩阵进行基本QR算法时，每次迭代计算量是 $\mathcal{O}(n^2)$ ，将QR迭代的每步迭代的计算量降到 $\mathcal{O}(n^2)$ 是非常了不起的进步。假设 K 为迭代步数，则总体运算量为 $K * n^2$ ，实际计算时，基本QR算法进行Hessenberg矩阵往往需要多次迭代，即 $K \gg n$ 则整体计算量仍然是超过 $\mathcal{O}(n^3)$ 。需要进一步提高收敛速度。

8 Hessenberg矩阵的带位移QR算法

由于基本QR迭代收敛较慢，实际计算时大多采用带位移的QR算法(如: Rayleigh shift, Wilkinson shift). 带位移的QR迭代逐个计算每个特征值. 一旦得到位于矩阵右下角的特征值, 删去矩阵的最后一行从而降低矩阵的维数. 对小规模的矩阵进行新的迭代, 直至求出所有特征值. 例如对Hessenberg矩阵

$$H = \begin{bmatrix} \times & \times & \times & \times \\ \times & \times & \times & \times \\ 0 & \times & \times & \times \\ 0 & 0 & \alpha & \lambda_n \end{bmatrix}$$

当 $\alpha = 0$ 时, λ_n 是 H 的一个特征值. 实际计算时, 当 $\alpha < \epsilon$, 即可认为 λ_n 是所求特征值. 进而目标矩阵变为 $(n-1)$ 阶的.

$$H_n = \begin{bmatrix} \times & \times & \times & \times \\ \times & \times & \times & \times \\ 0 & \times & \times & \times \\ 0 & 0 & 0 & \lambda_n \end{bmatrix} = \begin{bmatrix} H_{n-1} & \times \\ 0 & \lambda_n \end{bmatrix}$$

重复以上过程直至 $n=2$, 停止计算, 求出2阶矩阵的特征值即可.

为了加快收敛速度, 在对 H 进行QR迭代时可选择位移加速

$$\begin{cases} (H - \sigma \cdot I) = Q \cdot R \\ H_{new} = R \cdot Q + \sigma \cdot I \end{cases} \quad (3)$$

其中 I 是单位矩阵, $\sigma \in \mathbb{C}$ 是位移. 可以检验上述过程满足 $H_{new} = Q^T \cdot H \cdot Q$.

(3)中 σ 的选择对收敛速度很重要. 若 $\sigma = \lambda_n$ 是 H 的特征值或者是其近似值, 则针对(近似)奇异矩阵 $(H - \sigma \cdot I)$ 的QR分解得到上三角矩阵 R , 有 $R_{nn} = \varepsilon (\approx 0)$. 而新的 $H_{new} = R \cdot Q$ 形式如下

$$H_{new} = R \cdot Q = \begin{bmatrix} \times & \times & \times & \times \\ 0 & \times & \times & \times \\ 0 & 0 & \times & \times \\ 0 & 0 & 0 & \varepsilon \approx 0 \end{bmatrix} * \begin{bmatrix} \times & \times & \times & \times \\ \times & \times & \times & \times \\ 0 & \times & \times & \times \\ 0 & 0 & \times & \times \end{bmatrix} = \begin{bmatrix} \times & \times & \times & \times \\ \times & \times & \times & \times \\ 0 & \times & \times & \times \\ 0 & 0 & \alpha \approx 0 & \lambda_n^{new} \end{bmatrix}$$

由矩阵的乘法规则可知 $\alpha \approx 0$, 则 λ_n^{new} 即是所求特征值. 删去矩阵的最后一行和最后一列的多新的 H_{n-1} , 重复以上过程求出下一个特征值.

Rayleigh Quotient shift 算法

取 $\sigma = H_{nn}$ 为矩阵 H 的右下角的元素, 得到的算法称为是一类特殊的 Rayleigh Quotient 平移QR迭代. 读者可测试下面代码发现该算法比基本QR迭代收敛更快.

```

1  clear, % --- shift QR algorithm
2  A = [1 2 3 4; 4 4 4 4; 0 1 -1 1; 0 0 2 3]; % test matrix
3  % N = 11; beta = 0.5./sqrt(1-(2*(1:N)).^(-2));
4  % A = diag(beta,1) + diag(beta,-1); % legendre poly roots pts
5  lam = sort(eig(A)); % exact eigenvalue by matlab
6  n1 = size(A,1); eg = zeros(n1,1);
7  ij = 1; Tol = 1e-9; maxI = 20*n1; % tol and max iter steps
8  while n1 > 1
9      ee = A(n1,n1); % Rayleigh shift
10 % ee = eig_s2(A(n1-1:n1, n1-1:n1)); % get eigvalue of 2*2 mat
11 % [~,i] = min(ee - A(n1,n1)); ee = ee(i); % Wilkinson's shift lines 10-11
12 [Q, R] = myGivensQR(A - ee*eye(n1));
13 A = R*Q + ee*eye(n1); % R is triangle, Q:hess
14 corn = A(n1,n1-1); % check eps
15 if abs(corn) < Tol
16     eg(n1) = A(n1,n1); n1 = n1-1; A = A(1:n1,1:n1);
17 end
18 ij = ij + 1; % plus iteration steps
19 if ij > maxI, warning('Method may not work!'), return, end
20 end
21 eg(1) = A(1,1); err1 = sort(eg) - lam,

```

```
22 fprintf('\nwhole_itr_steps is %d, error is %.1e\n', ij, norm(err1))
```

上述简单的平移算法并非永远奏效, 读者可测试对于代码3-4行定义的 对称三对角矩阵, 该算法不收敛. 而下面的平移方法更加有效.

Wilkinson shift 算法

我们给出一个对大部分矩阵的特征值计算都有效的算法. 与上一算法的区别在于 位移 σ 的选择. 记 $\alpha = \text{eig}(H(n1-1:n1, n1-1:n1))$ 为 H 右下角的 2×2 矩阵的两个特征值. 取位移 $\sigma = \min\{\alpha - \lambda_n\}$ 为距离右下角较近的元素. 这一算法称为Wilkinson shift 算法. 由于 2×2 矩阵的特征值有显式表达式, 所以该算法对比上一算法计算复杂度几乎没有增加. 另外, 由于 σ 可能取到复数, 该算法也可计算矩阵的复特征值.

我们首先给一个简单的代码用于计算二阶矩阵的特征值.

```
1 function [sig] = eig_s2(A)
2 % A is a matrix of size 2 OR a number,
3 % sig is the eigenvalue of A
4 [m,n] = size(A);
5 if (m==1) && (n==1), sig = A; return, end
6 if (m~=2) || (n~=2), warning('Input A is not 2*2 matrix'), return, end
7 a11 = A(1,1); a22 = A(2,2); a12 = A(1,2); a21 = A(2,1);
8 % p_x = (x - a11)*(x-a22) - a12*a21 % eig poly
9 b = -a11-a22; c = a11*a22 - a12*a21; % x^2 + bx + c
10 del = sqrt(b*b - 4*c); x1 = -b + del; x2 = -b - del;
11 sig = 0.5*[x1; x2]; sig = sort(sig);
12 end
```

利用上述代码选择合适的位移 σ 可得Willkinson平移算法(见上一代码). 与上一小节算法对比, 算法的区别只在于位移 σ 的选择. 通过测试对比, 该算法更加高效.

标注 13 本节介绍的Wilkinson平移QR算法是非常高效的算法, 对大多数矩阵都有立方收敛阶. 关于矩阵的特征对计算还有许多方法, 例如基于矩阵的LU分解的LR迭代法, 古典的Jacobi迭代, 针对大型稀疏矩阵的Krylov子空间方法. 有兴趣的读者可以参考阅读: Demmel, Golub, Saad 等人的专著. 中文《数值线性代数》(徐数方, 高立, 张平文编著)也可作为阅读材料. Golub著作《Matrix Computation》已由袁亚湘等翻译为中文版.

标注 14 本节平移算法给出了计算 Hessenberg矩阵 H 的特征值的高效算法, 一旦得到 H 的特征值 λ , 计算新的奇异的、Hessenberg矩阵 $B = \lambda I - H$ 的零空间, 即得到相应的特征向量 x . 由于舍入误差的影响, $\det(B) \approx 10^{-15} \neq 0$, 计算 $Bx = 0$ 时往往只得到零解. 此时可以选择反幂法迭代计算一步或者两部 $Bx = e$ 即得到特征向量 x .

小结

再次总结一下QR算法的伟大之处：对于中小规模矩阵 $A \in \mathbb{R}^{n \times n}$,

- (1) Householder变换实现 $AQ = QH$; 计算量 $\mathcal{O}(n^3)$.
- (2) 大约 $\mathcal{O}(n)$ 步的Wilkinson位移算法计算出 H 所有特征值, 总的计算量 $\mathcal{O}(n^3)$
- (3) 逐一计算出对应 H 特征值 λ_j 的特征向量 x_j , 每个计算量为 n^2 . 算出所有特征向量 $X = [x_1, \dots, x_n]$ 的代价为 $\mathcal{O}(n^3)$.
- (4) 计算 A 的所有特征向量 $Y = QX$ 一次矩阵相乘代价为 $\mathcal{O}(n^3)$.

计算所有特征值和特征向量的计算复杂度只要 $\mathcal{O}(n^3)$. Amazing !!!

9 上三角(Hessenberg)矩阵的特征向量(略)

对Hessenberg矩阵进行基本QR算法计算特征值最终得到如下形式

$$H = QTQ^T, \quad HQ = QT$$

其中 T 是上三角矩阵, $Q = Q_0Q_1\dots Q_k$ 为QR迭代产生的正交矩阵。若

$$Tx = x\lambda,$$

则

$$H(Qx) = \lambda(Qx)$$

在进行QR迭代的过程中可记录 Q , 利用上三角矩阵 T 的特征向量, 即得 H 的特征向量。

9.1 上三角矩阵的特征向量

给定如下形式的矩阵

$$T = \begin{bmatrix} t_1 & + & + & + \\ 0 & t_2 & + & + \\ & & \ddots & \\ 0 & 0 & 0 & t_n \end{bmatrix}$$

由特征多项式定义知道 T 的特征值即是对角元素 $\lambda_i = t_i$, 现采用如下方法计算 t_i 相应的特征向量 x_i . 记

$$B_i = T - t_i I = \begin{bmatrix} T_{i-1} & + & + \\ & 0 & + \\ & & T_{n-i} \end{bmatrix}, \quad T_{i-1} \in \mathbb{R}^{(i-1) \times (i-1)}, \quad T_{n-i} \in \mathbb{R}^{(n-i) \times (n-i)}$$

B_i 的非零解¹⁷ 即是 x_i . 可按照如下方式求解:

$$\begin{bmatrix} T_{i-1} & + & + \\ & 0 & + \\ & & T_{n-i} \end{bmatrix} \begin{bmatrix} y_{i-1} \\ 1 \\ 0_{n-i} \end{bmatrix} = 0_n \quad \Rightarrow \quad \begin{bmatrix} T_{i-1} & + \\ & 0 \end{bmatrix} \begin{bmatrix} y_{i-1} \\ 1 \end{bmatrix} = 0_i$$

注意此处是三角形矩阵, 计算量为 $n^2/2$. 依次求出所有特征向量, 总计算量 $n^3/6$.

```
1 n = 4; A = rand(n); A = triu(A);
2 [S,V] = eig(A);
3 D = diag(A); S1 = eye(n); E = S1;
4 for i = 2:n
5     B = A - D(i)*E;
6     S1(1:i-1,i) = -B(1:i-1,1:i-1)\B(1:i-1,i);
7 end
8 norm(A*S1 - S1*V)
```

¹⁷ 也即是矩阵 B_i 零空间Null Space(核, kernel)的一组基。

9.2 上Hessenberg矩阵的特征向量

采用带位移的QR算法计算Hessenberg矩阵H的特征值时,可以保留与H同阶的三角形矩阵T,以及记录QR迭代过程中产生的正交矩阵 $G = G_0 G_1 \dots$ 计算出T的特征向量S,则GS即为H的特征向量,进而A的特征向量 $X = QGS$.这一过程比较繁琐,我们给出先算特征值再计算H特征向量的算法,求解Hessenberg矩阵的零空间是相对容易的。

例 15 设 σ 为Hessenberg矩阵H的特征值,用反幂法计算其相应的特征向量 x .由特征对定义, x 为下述奇异方程组的非零解.

$$(H - \sigma I) * x = 0$$

从数值计算上考虑,可按照反幂法计算特征向量

$$(H - \sigma I) * x = \epsilon \quad \text{OR} \quad (H - \tilde{\sigma} I) * x = \epsilon, \quad \tilde{\sigma} \approx \sigma$$

后一表达式是为了使系数矩阵可逆,避免数值奇异型.

由于Hessenberg矩阵解线性方程组的代价是 $O(n^2)$,上述反幂法迭代只要一步或者两步即收敛,则求出所有特征向量的代价是 $O(n^3)$.以下代码给出了求解中小规模矩阵全部特征值的算法全过程.已经修改正交变换为复数域的算法,对实数矩阵的复特征值和复数矩阵也同样适用.

```
1 function [Q,D] = myHessQReig(A,Tol)
2 % comput eigenpair of A by first trans to H and then
3 % the eigvalue by shift QR iteration, eigvector by inv power iter
4 % A*Q = Q*D, det(Q)~=0; D:diagonal matrix
5 if nargin < 2, Tol = 1e-11; end
6 if norm(triu(A,-1) - A,inf) > 11*eps
7     [P,H] = myHess(A);
8 else
9     H = A; P = eye(size(A,1));
10 end
11 A = H; n = size(A,1); sig = zeros(n,1);
12 i = 1; maxI = 10*n; % tol and max iter steps
13 while n > 1
14     ee = eig_s2(A(n-1:n, n-1:n)); % get eigvalue of 2*2 mat
15     [~,ii] = min(abs(ee - A(n,n))); ee = ee(ii); % Wilkinson's shift
16     [Q, R] = myGivensQR(A - ee*eye(n));
17     A = R*Q + ee*eye(n); % R is triangle, Q:hess
18     corn = A(n,n-1); % check eps
19     if abs(corn) < Tol
20         sig(n) = A(n,n);
21         n = n-1; A = A(1:n,1:n);
22     end
23     i = i + 1; % plus iteration steps
24     if i > maxI, warning('Method may not work!'), return, end
```

```

25 end
26 fprintf('\n the number of all iteration steps is %d\n',i);
27 if ~isempty(A), sig(1) = A(1,1); end
28 % % % compute eigvector of H
29 sig = sort(sig,'descend'); D = diag(sig); NL = length(sig);
30 E = eye(NL); r = 11*eps+zeros(NL,1); S = 0*D;
31 for j = 1:NL
32     B = round(sig(j),8)*E - H;
33     v = B\r; v = v./norm(v);
34     v = B\v; v = v./norm(v);
35     S(:,j) = v;
36 end
37 Q = P*S;

```

10 三对角矩阵的性质补充(略)

三对角矩阵的特征值和特征向量计算在科学计算中经常出现。从计算量的角度看，可以达到最优。实际上三对角矩阵的特征值理论也很重要。本节给出一个与正交多项式有关的一个性质。

例 16 给定向量 a, b, c , 记

$$B_n = \begin{bmatrix} b_1 & c_1 & & & \\ a_1 & b_2 & c_2 & & \\ & \ddots & \ddots & \ddots & \\ & & a_{n-2} & b_{n-1} & c_{n-1} \\ & & & a_{n-1} & b_n \end{bmatrix}, \quad B_{n-1} = \begin{bmatrix} b_1 & c_1 & & & \\ a_1 & b_2 & c_2 & & \\ & \ddots & \ddots & \ddots & \\ & & a_{n-3} & b_{n-2} & c_{n-2} \\ & & & a_{n-2} & b_{n-1} \end{bmatrix},$$

则

$$B_n = \begin{bmatrix} B_{n-1} & c_{n-1}e_{n-1} \\ a_{n-1}e_{n-1}^T & b_n \end{bmatrix}$$

其中 e_{n-1} 代表 $(n-1)$ 阶单位矩阵的最后一列. 检验

$$\det(B_n) = b_n * \det(B_{n-1}) - a_{n-1}c_{n-1} * \det(B_{n-2})$$

根据上例结论，此处也给出一个计算三对角行列式的算法。

```

1 m = 11; a = rand(m-1,1); b = rand(m,1); c = rand(m-1,1);
2 A = diag(a,-1) + diag(b) + diag(c,1);
3 d1 = b(1); d2 = b(1)*b(2) - a(1)*c(1);
4 for k = 1:m-2
5     d3 = b(k+2)*d2 - a(k+1)*c(k+1)*d1;
6     d1 = d2; d2 = d3;
7 end
8 d3 = det(A)

```

若存在另一个三对角矩阵 T , 主对角线为 b , 次对角线记为 d, e , 且满足

$$a_j c_j = d_j e_j, \quad j = 1:n-1$$

则

$$\det(B_n) = \det(T) \Rightarrow B = STS^{-1}$$

一个有趣且重要的结果是:

若三对角矩阵 T 的次对角线对应乘积非负, 则其必可对角化, 且相似于对称矩阵

$$T' = \text{tridiag}(\sqrt{ac}, b, \sqrt{ac})$$

所有正交多项式均有三项递推式, 利用上述结论可将正交多项式求根问题全部转化为对称三对角的特征值问题!

已知 n 次正交多项式都满足三项循环式且有 n 个互异实根, 改写循环式为

$$xp_{j-1} = \frac{c_j}{a_j} p_{j-2} - \frac{b_j}{a_j} p_{j-1} + \frac{1}{a_j} p_j$$

进而得到矩阵形式

$$x \cdot \begin{bmatrix} p_0 \\ p_1 \\ \vdots \\ p_{n-1} \end{bmatrix} = \begin{bmatrix} -b_1/a_1 & 1/a_1 & & \\ c_2/a_2 & -b_2/a_2 & 1/a_2 & \\ & \ddots & \ddots & \\ & & c_n/a_n & -b_n/a_n \end{bmatrix} \cdot P + \underbrace{\frac{p_n(x)}{a_n}},$$

上式说明 $p_n(x)$ 的 n 个根是上述三对角矩阵的特征值!

11 反射矩阵的应用: SVD分解(略)

矩阵的另一个特征称为奇异值(Singular Value), 特别是长方形矩阵本身没有特征值。将矩阵 $A \in \mathbb{R}^{m \times n}$ 看作一个算子, 则对任意向量 $x \in \mathbb{R}^n$, $Ax \in \mathbb{R}^m$, 即 A 是空间 \mathbb{R}^n 到 \mathbb{R}^m 的一个映射。由线性代数知识, \mathbb{R}^n 空间是 n 维线性空间, 存在很多不同的基向量组, 特殊的一类是(标准)正交基。一个自然(重要)的数学问题是:

是否存在一组 \mathbb{R}^n 空间的标准正交基组成的列向量组 V , 满足 AV 是 \mathbb{R}^m 的一组正交基?

$$AV = U\Sigma, \quad \Sigma = \begin{bmatrix} \sigma_1 & & \\ & \sigma_2 & \\ & & \ddots \end{bmatrix}, \quad U^T U = I.$$

奇异值分解 将矩阵 A 表示为三个特殊矩阵乘积的形式

$$A = U \Sigma V^T = \begin{bmatrix} | & | & & | \\ \mathbf{u}_1 & \mathbf{u}_2 & \cdots & \mathbf{u}_m \\ | & | & & | \end{bmatrix}_{m \times m} \begin{bmatrix} \sigma_1 & & & \\ & \sigma_2 & & \\ & & \ddots & \\ & & & \sigma_n \end{bmatrix}_{m \times n} \begin{bmatrix} - & \mathbf{v}_1^T & - \\ - & \mathbf{v}_2^T & - \\ & \vdots & \\ - & \mathbf{v}_n^T & - \end{bmatrix}_{n \times n}$$

其中 U 是 V 正交的, $U^T U = U U^T = I_m$ 以及 $V^T V = V V^T = I_n$. 矩阵 Σ 的前 n 行 是对角阵, 对角线是其奇异值 $\sigma_1 \geq \sigma_2 \geq \cdots \geq \sigma_n \geq 0$.

矩阵的奇异值分解在数值计算中有极其重要的位置。问题：给定 A , 如何寻找相应的奇异值 σ 以及两组标准正交基 V, U ? 假设 $A \in \mathbb{R}^{m \times n}$ 是瘦长型的矩阵, 即 $m \geq n$, 则

$$A = U \Sigma V^T \rightarrow A^T A = V \Sigma^2 V^T$$

即 $\sigma = \sqrt{\lambda(A^T A)}$, V 为 $A^T A$ 对应的特征向量。 A 的奇异值分解转化为计算 $A^T A$ 特征对。步骤如下：

1. 计算 $B = A^T A$ 的特征值 σ^2 , 及其对应特征向量 V
2. $U = A V * (\Sigma)^{-1}$ 即可

Householder变换并不能直接计算奇异值(Singular values), 但是可以像化简普通矩阵为Hessenberg矩阵一样, 将矩阵约化为两对角矩阵。假设 $A \in \mathbb{R}^{m \times n}$, ($m \leq n$), 且 P, Q 分别是 m, n 阶正交矩阵, 则¹⁸

$$A = U \Sigma V^T \rightarrow P A Q = (P U) \cdot \Sigma \cdot (V^T Q)$$

注意正交矩阵的乘积仍是正交矩阵, 即 $P A Q$ 与 A 具有同样的奇异值。选择合适的反射矩阵 P, Q , 有希望使得 $P A Q$ 形式较 A 更为简单。

例 17 给出Householder变换, 完成如下计算

$$\begin{bmatrix} \times & \times & \times & \times & \times \\ \times & \times & \times & \times & \times \\ \times & \times & \times & \times & \times \end{bmatrix} \xrightarrow{A \rightarrow B = P A Q} \begin{bmatrix} \times & \times & 0 & 0 & 0 \\ 0 & \times & \times & 0 & 0 \\ 0 & 0 & \times & \times & 0 \end{bmatrix}$$

A 的奇异值通过计算 B 获得, $B B^T$ 是对称正定三对角, QR分解¹⁹ 可求出其全部特征值, 其平方根为所求奇异值。顺带计算出 $B B^T$ 特征向量 U , 进而计算出 V 。

```
1 function [P, H, Q] = myHousBidiag1(A)
2 % reduce A to P*H*Q, H is bidiag mat, P,Q is orthogonal
3 % size(A,1) <= size(A,2)
4 % for example:
```

¹⁸Gilb, Strang, Linear Algebra and its Applications

¹⁹对称三对角矩阵的特征值是相对容易的, $O(n^2)$ 的计算量就可以完成所有特征对计算。


```

5 % A = [1 2 3 4 5 ; 4 4 4 4 5; 0 1 -1 1 1];
6 % [P H Q] = myHousBidiag1(A); H = P*A*Q
7 [n,m] = size(A);
8 if n>m, A = A'; [n,m] = size(A); end
9 P = eye(n); Q = eye(m); H = A;
10 for k = 1:n
11     j1 = k:n; % col
12     x1 = H(j1,k);
13     if norm(x1) > 11*eps
14         if abs(x1(1)) > 1e-11
15             cc = -x1(1)/abs(x1(1));
16         else
17             cc = -1;
18         end
19         rho = -cc*norm(x1);
20         w = x1 - [cc*rho; zeros(n-k,1)];
21         eta = 1/(w'*x1);
22 %     w = w/norm(w);
23     H(j1,:) = H(j1,:) - eta*w*(w'* H(j1,:));
24     P(j1,:) = P(j1,:) - eta*w*(w'* P(j1,:));
25     end
26 %     ---- row
27     if k < m
28         j2 = k+1:m;
29         x2 = H(k,j2); rho = -sign(x2(1))*norm(x2);
30         w2 = x2 - rho*[1, zeros(1,m-k-1)]; w2 = w2/norm(w2);
31         H(:,j2) = H(:,j2) - 2*(H(:,j2)*w2')*w2;
32         Q(:,j2) = Q(:,j2) - 2*(Q(:,j2)*w2')*w2;
33     end
34 end
35 H = triu(tril(H,1));

```

类似于变换一般矩阵为hessenberg矩阵，上述过程需要 $\mathcal{O}(m \cdot n^2)$ 运算量。进而求解对称三对角矩阵的特征对，计算量为 $\mathcal{O}(n^2)$ 。

标注 15 一般三对角矩阵H的特征值计算无法使用对称性， $Q^T H Q$ 一般不再是三对角；此时QR迭代的计算量和一般上Hessenberg矩阵的算法代价相同。但是如果是对称三对角矩阵，可利用对称性减少计算量。

上机练习

(1) 利用Householder变换约化矩阵

$$A = \begin{bmatrix} 1 & 3 & 4 \\ 3 & 1 & 2 \\ 4 & 2 & 1 \end{bmatrix}$$

为上Hessenberg矩阵 H , 求出 反射矩阵 P 使得

$$H = PAP$$

(2) 用幂法、反幂法计算矩阵的最大最小特征对, 以及QR算法计算

$$A = \begin{pmatrix} 1 & 1 & 1/2 \\ 1 & 1 & 1/4 \\ 1/2 & 1/4 & 2 \end{pmatrix}$$

的所有特征值和相应的特征向量.